

05:08:09

Электрострикционный механизм СВЧ потерь в планарном конденсаторе на основе пленки титаната стронция

© О.Г. Вендик, Л.Т. Тер-Мартirosян

Санкт-Петербургский государственный электротехнический университет,
197376 Санкт-Петербург, Россия

(Поступило в Редакцию 9 июля 1998 г.)

Проведен анализ диэлектрических потерь в планарном сегнетоэлектрическом конденсаторе в диапазоне СВЧ, обусловленных электрострикционным возбуждением звука в сегнетоэлектрике в присутствии поля смещения (наведенный пьезоэффект). Получено приближенное выражение для тангенса угла диэлектрических потерь как функции напряженности поля смещения и частоты. Численные оценки сделаны для монокристаллического титаната стронция при температуре 78 К. Рассмотренный механизм потерь может оказаться определяющим при реализации планарных конденсаторов на основе высококачественных сегнетоэлектрических пленок, близких по свойствам к монокристаллу.

Введение

СВЧ приборы с полевым управлением на основе сегнетоэлектриков в парафазе открывают возможности разработки устройств, обладающих рядом преимуществ по сравнению с существующими аналогами [1–3]. Решающий фактор, определяющий возможность применения сегнетоэлектриков в технике СВЧ, — это приемлемая величина диэлектрических потерь этих материалов в СВЧ диапазоне. Одним из существенных механизмов СВЧ потерь в сегнетоэлектриках является электрострикционное преобразование энергии электромагнитного поля в энергию гиперзвуковых колебаний в образце, размеры которого сопоставимы с длиной волны гиперзвука. Вклад электрострикции был количественно оценен для объемных образцов $(\text{Ba,Sr})\text{TiO}_3$ [4]. Было исследовано влияние акустических колебаний, возбужденных за счет электрострикции в тонкой пленке SrTiO_3 , на шумы сегнетоэлектрического параметрического усилителя [1,5]. В настоящее время проявляется интерес к использованию в СВЧ технике планарных конденсаторов или копланарных линий [6,7], экспериментально [8] и теоретически [9] исследуются различные механизмы СВЧ потерь в материалах типа SrTiO_3 . В связи с этим представляет интерес исследование СВЧ потерь, вызванных электрострикцией в достаточно тонкой пленке сегнетоэлектрика, когда толщина пленки сопоставима с длиной волны звука в материале на СВЧ. Численные оценки будут сделаны для SrTiO_3 (STO) при $T = 78$ К. При этой температуре титанат стронция в сочетании с высокотемпературным сверхпроводником является перспективным материалом для СВЧ применений [10].

1. Постановка задачи

Типичная конструкция планарного конденсатора изображена на рис. 1, а, где h — толщина пленки из STO (обычно $h \cong 0.5\text{--}1\ \mu\text{m}$), g — ширина зазора (обычно $g \cong 2\text{--}10\ \mu\text{m}$), H — толщина подложки

(обычно $H \cong 0.5\text{--}1.0\ \text{mm}$), w — ширина активной зоны конденсатора (обычно $w \cong 0.5\text{--}1.0\ \text{mm}$), L — длина электродов конденсатора (обычно $L \cong 0.5\text{--}1.0\ \text{mm}$). На рис. 1, а также показано распределение электрической индукции D . При $g \gg h$ можно приближенно считать электрическую индукцию в активной зоне конденсатора не зависящей от координат.

Электрическая индукция D состоит из постоянной и переменной во времени компонент

$$D = D^{ac} + D^{dc}. \quad (1)$$

Наличие постоянной составляющей D^{dc} приводит к образованию наведенного пьезоэффекта и к возбуждению гиперзвука, линейно связанного с переменной составляющей индукции D^{ac} . Границы активной области определяют размер излучателя, сопоставимый с длиной звука, что эквивалентно выполнению условий пространственного синхронизма. В активной области планарного конденсатора возбуждаются близкие к цилиндрическим гиперзвуковые волны, уходящие из пленки STO в подложку. Для упрощения расчета этот механизм возбуждения волн можно предствить в виде двух волновых процессов: а) возбужденные в активной области плоские волны, распространяющиеся вдоль пленки STO под электродами; б) возбужденные в активной области плоские волны, распространяющиеся по нормали к пленке в подложку. Приняв такое приближение, мы сводим задачу к двум независимым одномерным плоским задачам.

1. Узкий бесконечно длинный свободный сегнетоэлектрический стержень (пленка) толщиной h , расположенный вдоль оси z (рис. 1, б). Между сечениями $z = -l$ и $z = l$ ($2l = g$) имеется активная область, в которой существуют составляющие электрической индукции D^{dc} и D^{ac} , не зависящие от координат. Стрикционное возбуждение гиперзвука обусловлено диагональной компонентой Q тензора электрострикции. Наличие тонких проводящих электродов в областях $z = -l$ и $z = l$ не влияет на условия возбуждения гиперзвука. Положим, что STO пленка в механическом отношении свободна как со

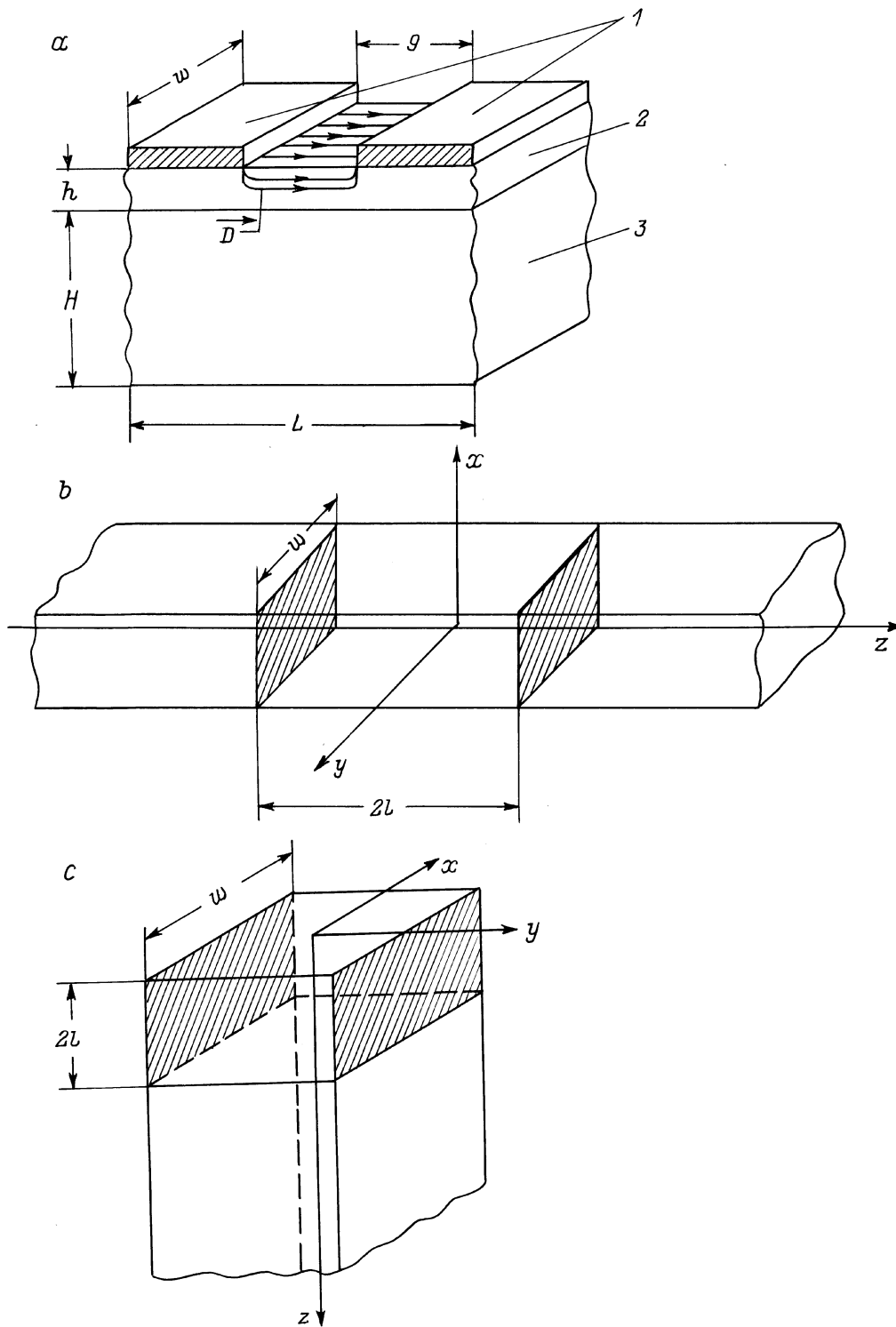


Рис. 1. Планарный конденсатор: *a* — конструктивная схема, где использованы следующие обозначения: 1 — электроды, 2 — сегнетоэлектрическая пленка, 3 — подложка; *b, c* — модели, используемые для расчета возбуждения продольных волн звука, распространяющихся вдоль и перпендикулярно к поверхности пленки соответственно.

стороны "воздуха", так и со стороны подложки. Такое упрощение задачи не должно существенно повлиять на условие возбуждения продольных волн, распространяющихся вдоль названных выше границ раздела.

2. Полубесконечный стержень шириной g , расположенный вдоль оси z (рис. 1, *c*). На конце стержня расположена активная область $0 \leq z \leq 2l$ ($2l = h$), где существуют перпендикулярные оси z компоненты

электрической индукции \mathbf{D}^{dc} и \mathbf{D}^{ac} . Электроды, создающие эту индукцию, располагаются в плоскостях, параллельных оси z . Стрикционное возбуждение гиперзвука обусловлено недиагональной компонентой R_k тензора электрострикции. Полагая, что акустические характеристики пленки STO и подложки близки, исключим из рассмотрения отражения на границе раздела, считая таким образом рассматриваемый полубесконечный стержень акустически однородным.

2. Основные соотношения между диэлектрическими и механическими характеристиками пленки STO

В качестве независимых переменных можно использовать вектор электрической индукции D_m и тензор упругих напряжений σ_{kl} . Обычные соотношения между диэлектрическими и механическими величинами, учитывающие явление электрострикции [11–13], дают

$$\begin{aligned} u_{ij} &= s_{ijkl}\sigma_{kl} + Q_{ijmn}D_mD_n, \\ E_m &= \varepsilon_0^{-1}\varepsilon_{mn}^{-1}D_n - 2Q_{ijmn}\sigma_{ij}D_n, \end{aligned} \quad (2)$$

где u_{ij} — компоненты тензора деформации; s_{ijkl} и Q_{ijmn} — компоненты тензоров упругой податливости и электрострикции соответственно; E_m — компоненты вектора напряженности электрического поля; ε_{mn} — компоненты тензора диэлектрической проницаемости; ε_0 — проницаемость вакуума.

Если в качестве независимых переменных использовать вектор напряженности электрического поля E_m и тензор упругих напряжений σ_{kl} , то можно записать

$$\begin{aligned} u_{ij} &= s_{ijkl}\sigma_{kl} + R_{ijmn}E_mE_n, \\ D_m &= \varepsilon_0\varepsilon_{mn}E_n - 2R_{ijmn}\sigma_{ij}E_n, \end{aligned} \quad (3)$$

где R_{ijmn} — компоненты другой в отличие от (2) модификации тензора электрострикции.

Как известно, заметная анизотропия титаната стронция может проявиться при низких температурах в кристалле, монодоменированном по отношению к структурному фазовому переходу [14]. Анизотропия в пленке может быть также вызвана неоднородными механическими напряжениями [15]. Для упрощения задачи будем считать пленку STO изотропной. В изотропной среде тензор диэлектрической проницаемости превращается в скаляр, при этом $\varepsilon_{mn} = \varepsilon_r$, где ε_r — относительная диэлектрическая проницаемость среды, тензор электрострикции имеет две независимые компоненты: для Q_{ijmn} существуют Q — диагональная компонента и Q_k — недиагональная компонента, соответственно для тензора R_{ijmn} — R и R_k . Для изотропной среды имеем [12,13]

$$R = Q \cdot \varepsilon_0^2 \varepsilon^2, \quad R_k = Q_k \cdot \varepsilon_0^2 \varepsilon^2. \quad (4)$$

Тензор упругой податливости изотропной среды также имеет две независимые компоненты: s — диагональная компонента и s_k — недиагональная компонента.

Обычно $|s_k| < |s|$; так, в титанате стронция при 78 К $s_k \cong -1.4 \cdot 10^{-12} \text{ м}^2/\text{Н}$, $s \cong 4.6 \cong 10^{-12} \text{ м}^2/\text{Н}$ [16]. Для упрощения пренебрежем вкладом недиагональной компоненты тензора упругой податливости; в этом приближении системы уравнений (2) и (3) описывают стрикционное возбуждение только продольных волн.

Учитывая сделанные упрощения, подставим (1) в (2) и (3); при этом, полагая, что переменные во времени компоненты векторов электрического поля и электрической индукции много меньше, чем соответствующие статические компоненты, отбросим квадраты малых величин. После этого получим

$$\begin{aligned} u_z^{ac} &= s\sigma_z^{ac} + 2QD_z^{dc}D_z^{ac}, \\ E_z^{ac} &= \varepsilon_0^{-1}\varepsilon^{-1}D_z^{ac} - 2Q\sigma_z^{ac}D_z^{dc}, \end{aligned} \quad (5)$$

$$\begin{aligned} u_z^{ac} &= s\sigma_z^{ac} + 2R_kE_z^{dc}E_z^{ac}, \\ D_z^{ac} &= \varepsilon_0\varepsilon E_z^{ac} + 2R_k\sigma_z^{ac}E_z^{dc}. \end{aligned} \quad (6)$$

В обеих системах уравнений переменная во времени z -я составляющая тензора деформации связана с r_z — компонентой вектора смещения частиц среды в процессе деформации или распространения волн

$$u_z = \frac{\partial r_z}{\partial z}. \quad (7)$$

Кроме того, для введения в расчет звуковых волн нужно использовать волновое уравнение [17]

$$\frac{d^2 r_z}{dz^2} + k^2 r_z = 0, \quad (8)$$

где k — волновое число продольной волны гиперзвука.

3. Бесконечный стержень с продольной электрической индукцией в активной зоне

Обратимся к первой задаче (рис. 1, *b*). В этом случае области сжатия и разрежения в продольной гиперзвуковой волне будут параллельны электродам (рис. 1, *b*), так что в любой точке между электродами электрическая индукция D_z^{ac} будет одинакова, а напряженность электрического поля E_z^{ac} будет функцией координаты z . В связи с этим для расчета удобно использовать в качестве независимых переменных вектор электрической индукции D_m и тензор упругих напряжений σ_{kl} . Учитывая сделанные выше приближения, ищем совместные решения системы (5) и уравнения (8) с учетом (7). При этом используем следующие граничные условия: на границе между активной зоной и свободным бесконечным стержнем $z = l$ и $z = -l$ непрерывны смещения частиц r_z и механические напряжения σ_{zz} , причем во внешних областях по отношению к активной области существуют только удаляющиеся волны.

Решение системы (5), (7) и (8) при оговоренных выше граничных условиях (см. Приложение I) позволяет определить напряженность электрического поля в активной области

$$E^{ac}(z) = (1/\varepsilon_0\varepsilon_r) \cdot [1 + iW \sin kl \cos kz] D^{ac}, \quad (9)$$

где учтено, что $W \ll 1$, и введены следующие обозначения:

$$W = V \cdot \Phi, \quad V = (4/s)Q^2\varepsilon_0^3, \quad \Phi = \varepsilon_r^3(E^{dc})(E^{dc})^2. \quad (10)$$

Интегрируя $E^{ac}(z)$ по длине активной зоны $(-l, l)$, получаем разность потенциалов между электродами. Разделим ее на комплексную амплитуду тока между электродами $I = i\omega D^{ac}S$, где S — площадь электрода (площадь поперечного сечения стержня), и найдем импеданс между электродами

$$Z = -i \cdot [1/(\omega C)] \cdot (1 + iW(\sin^2 kl)/kl), \quad (11)$$

где C — емкость между электродами.

Полагаем, что $\varepsilon_r = \varepsilon' - i\varepsilon''$, при этом $\operatorname{tg} \delta = \varepsilon''/\varepsilon'$. Тогда

$$\operatorname{tg} \delta = W(\sin^2 kl)/kl. \quad (12)$$

Множитель $(\sin^2 kl)/kl$ представляет собой быстро осциллирующую функцию. В реальных образцах разброс акустических свойств материала в пределах геометрических размеров активной области приведет к усреднению этих осцилляций. Представим фазовую скорость продольных волн гиперзвука в виде $v_l(x) = v_l(1+x)$, где x —

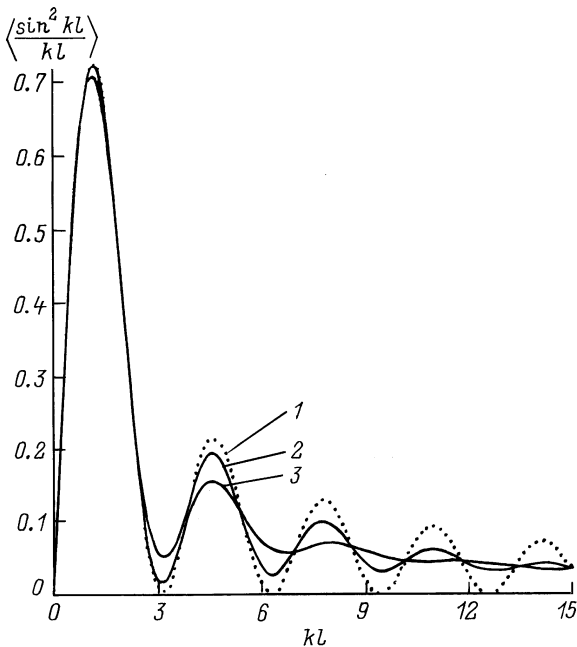


Рис. 2. Множитель из (12), определяющий зависимость $\operatorname{tg} \delta$ от частоты СВЧ поля, при различных значениях статистической дисперсии скорости звука в материале: $x_0 = 0$ (1), 0.1 (2), 0.2 (3).

случайная величина, подчиняющаяся гауссовому распределению с нулевым средним значением и дисперсией x_0 . Тогда

$$\begin{aligned} \langle (\sin^2 kl)/kl \rangle &= [1/(\sqrt{\pi}x_0)] \\ &\times \int_{-\infty}^{\infty} \{\sin^2[kl/(1+x)]/[kl/(1+x)]\} \\ &\times \exp[-(x/x_0)^2] dx. \end{aligned} \quad (13)$$

При $x_0 \ll 1$ выбранные пределы интегрирования практически не нарушают физических ограничений на допустимые значения скорости гиперзвука, но существенно упрощают процедуру интегрирования. На рис. 2 приведена функция $(\sin^2 kl)/kl$ и результаты расчета по формуле (13) для $x_0 = 0.1$ и 0.2 . При $kl \geq 5$ усреднение дает простой результат

$$\langle (\sin^2 kl)/kl \rangle \cong 1/2kl. \quad (14)$$

4. Полубесконечный стержень с поперечным электрическим полем в активной зоне

Обратимся ко второй задаче (рис. 1, c). В этом случае области сжатия и разрежения в продольной гиперзвуковой волне будут перпендикулярны электродам (рис. 1, c), так что в любой точке между электродами напряженность электрического поля E_z^{ac} будет одинакова, а электрическая индукция D_z^{ac} будет функцией координаты z . В связи с этим для расчета удобно использовать в качестве независимых переменных вектор напряженности электрического поля E_m и тензор упругих напряжений σ_{kl} . Учитывая сделанные выше приближения, ищем совместное решение системы (6) и уравнения (8) с учетом (7). При этом используем следующие граничные условия: при $z = 0$ $\sigma_z = 0$ (свободный торец); при $z = 2l$ смещения частиц r_z и механические напряжения σ_z непрерывны на границе раздела. При этом в области, внешней по отношению к активной области, существуют только удаляющиеся волны.

Решение системы (6)–(8) при оговоренных выше граничных условиях (см. Приложение II) позволяет определить электрическую индукцию в активной области

$$D^{ac} = \varepsilon_r\varepsilon_0 [1 + iW_k(\cos 2kl - 1) \sin kz] E^{ac}, \quad (15)$$

где принято, что $W_k \ll 1$, и с учетом (4) введены следующие обозначения:

$$W_k = V_k \cdot \Phi, \quad V_k = (4/s)Q_k^2\varepsilon_0^3, \quad \Phi = \varepsilon_r^3(E^{dc})(E^{dc})^2. \quad (16)$$

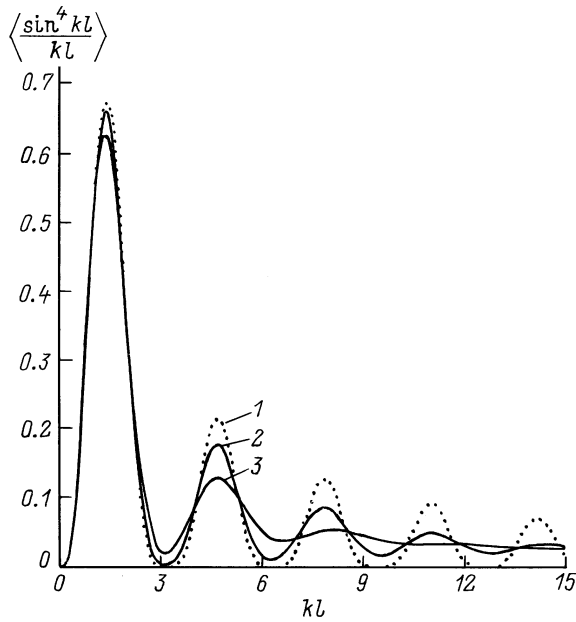


Рис. 3. Множитель из (19), определяющий зависимость $\text{tg } \delta$ от частоты СВЧ поля, при различных значениях статистической дисперсии скорости звука в материале (1–3 — то же, что и на рис. 2).

Разность потенциалов между электродами $U = E^{ac} g$; ток смещения

$$I = i\omega(S/2l) \int_0^{2l} D^{ac}(z) dz, \quad (17)$$

где $S = w \cdot 2l$ — площадь электрода.

Тогда импеданс между электродами

$$Z = -i(1/\omega C) \left(1 + i2W_k(\sin^4 kl)/kl \right). \quad (18)$$

Соответственно

$$\text{tg } \delta = 2W_k(\sin^4 kl)/kl. \quad (19)$$

Усреднение осциллирующей функции $(\sin^4 kl)/kl$, полученное подобно (13), приведено на рис. 3. При $kl \geq 5$ усреднение дает простой результат

$$\langle (\sin^4 kl)/kl \rangle \cong (3/8) \cdot (1/kl). \quad (20)$$

5. Обсуждение

Как уже отмечалось в разделе 1, диэлектрические потери в планарном конденсаторе, вызванные электрострикцией в присутствии постоянного поля смещения, представляют собой суммарные потери, найденные в двух расчетных моделях, причем в первой модели размер активной области равен ширине зазора ($2l = g$), а во второй — толщине сегнетоэлектрической пленки ($2l = h$).

Объединяя формулы (12) и (19) с учетом (10) и (16), получим

$$\text{tg } \delta_{\Sigma} = \left[V \langle [\sin^2(kg/2)] / (kg/2) \rangle + 2V_k \langle [\sin^4(kh/2)] / (kh/2) \rangle \right] \Phi. \quad (21)$$

Дадим количественные оценки величин, входящих в полученную формулу,

$$k = \omega / v_l, \quad (22)$$

где ω — частота СВЧ поля в планарном конденсаторе, v_l — продольная скорость звука в сегнетоэлектрике. Для STO имеем [16] $v_l \cong 7500$ m/s.

Для оценки значения параметра $\Phi(E^{dc})$, определенного в (10) и (16), удобно воспользоваться модельным описанием диэлектрических свойств сегнетоэлектрика [1,18]. На рис. 4 представлены результаты расчета параметра $\Phi(E^{dc})$ для титаната стронция при $T = 78$ K. В соответствии с использованной моделью [1,18] параметр ξ_s характеризует меру дефектности материала: в случае высококачественного монокристалла $\xi_s = 0.018$, в случае напыленной пленки $\xi_s \cong 1$. Заметим, что интересующий нас параметр $\Phi(E^{dc})$ слабо зависит от меры дефектности материала. Обычно для осуществления управляющего воздействия на пленку STO необходимо приложить смещающее поле не менее чем $E_{dc} = 3$ MV/m. Из (10) или (16) получаем, что при $E^{dc} \geq 3$ MV/m $\Phi \cong 1.4 \cdot 10^{22}$ V²/m².

Примем во внимание, что в STO $s = s_{11} \cong 4.6 \cdot 10^{-12}$ m²/N, $Q \cong 0.066$ m⁴/C², $|Q_k| = 0.01$ m⁴/C² [16,19]. Тогда в соответствии с

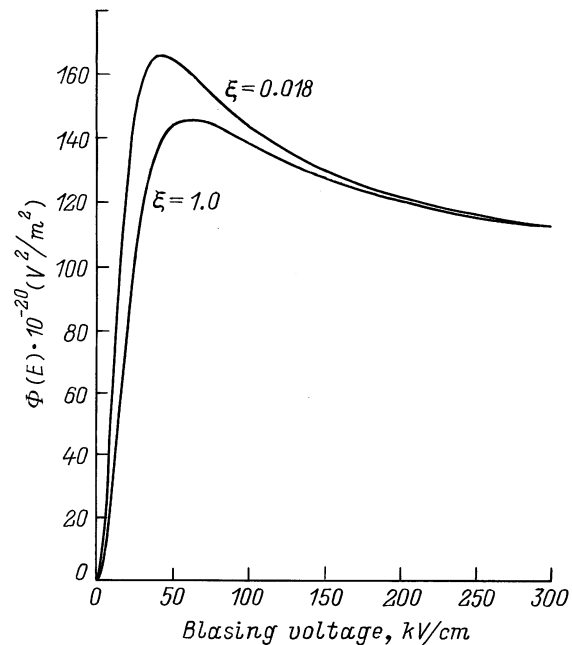


Рис. 4. Параметр Φ как функция напряженности смещающего поля для титаната стронция при $T = 78$ K.

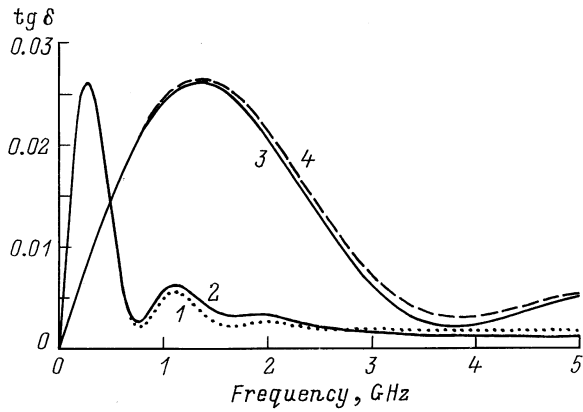


Рис. 5. Рассчитанные значения $\text{tg } \delta$ пленки монокристаллического титаната стронция в функции от частоты СВЧ поля при $T = 78$ К и следующих размерах активной зоны планарного конденсатора (в μm): $g = 10$ (1, 2); 2 (3, 4); $h = 2$ (1), 0.5 (2), 0.2 (3), 1 (4).

(10) и (16) получим, что $V = 2.62 \cdot 10^{-24} \text{ m}^2/\text{V}^2$ и $V_k = 6.01 \cdot 10^{-26} \text{ m}^2/\text{V}^2$. Полученные количественные оценки позволяют вычислить с помощью (21) значение тангенса угла диэлектрических потерь в сегнетоэлектрическом слое планарного конденсатора, вызванных электрострикционным преобразованием энергии СВЧ электрического поля в энергию гиперзвука, которая в конечном счете расходуется на нагрев материала. На рис. 5 приведены рассчитанные значения $\text{tg } \delta$ в функции от частоты при разных размерах планарного конденсатора.

В планарных конденсаторах на частотах 1–10 GHz экспериментальные значения $\text{tg } \delta_{\Sigma}$ лежат в пределах 0.02–0.05 [1,7,8] при $E^{dc} = 0$ и, как правило, убывают с ростом поля смещения. Приведенные на рис. 5 рассчитанные значения $\text{tg } \delta$ при соответствующем подборе размеров конденсатора и частоты СВЧ поля могут оказаться сопоставимыми с его экспериментальными значениями. Вклад рассматриваемого механизма потерь может оказаться решающим, если в результате совершенствования технологии пленок будут устранены все источники потерь, кроме принципиально неустранимого рассеяния мягкой моды на тепловых колебаниях кристаллической решетки [1,9].

Заключение

Получено приближенное решение задачи о возбуждении в планарном сегнетоэлектрическом образце продольных гиперзвуковых волн СВЧ электрическим полем за счет наведенного постоянным электрическим полем пьезоэффекта; при этом границы активной области обеспечивают выполнение условий пространственного синхронизма.

В изученных в настоящее время планарных конденсаторных структурах на основе пленок титаната стронция в СВЧ диапазоне при $T = 78$ К диэлектрические потери за счет рассматриваемого эффекта не являются преобладающими, однако при совершенствовании технологии пленок и снижении за счет этого суммарных СВЧ потерь рассмотренный механизм потерь может оказаться определяющим и потребует более детального изучения.

Авторы выражают благодарность С.П. Зубко за помощь в проведении расчетов.

Работа выполнена в рамках Государственной программы "Физика конденсированных сред" (проект № 98055).

Приложение I

Присвоим активной области индекс I, левой и правой частям стержня — соответственно II и III. Тогда комплексные амплитуды смещений r_z можно записать так:

$$r_I = A_I e^{-ikz} + B_I e^{ikz}, \quad r_{II} = B_{II} e^{ikz},$$

$$r_{III} = A_{III} e^{-ikz}, \quad (\text{П-1})$$

соответственно для компонент u_{zz} тензора деформации с помощью (7) получаем

$$u_I = -ikA_I e^{-ikz} + ikB_I e^{ikz}, \quad u_{II} = ikB_{II} e^{ikz},$$

$$u_{III} = -ikA_{III} e^{-ikz}. \quad (\text{П-2})$$

С помощью (5) находим для компонент σ_{zz} тензора механических напряжений в выделенных областях

$$\sigma_I = -i(k/s)A_I e^{-ikz} + i(k/s)B_I e^{ikz} - 2QD_z^{dc} D_z^{ac} / s,$$

$$\sigma_{II} = i(k/s)B_{II} e^{ikz}, \quad \sigma_{III} = -i(k/s)A_{III} e^{-ikz}. \quad (\text{П-3})$$

Граничные условия в рассматриваемой задаче имеют вид при $z = -l$

$$\sigma_I(-l) = \sigma_{II}(-l) \quad \text{и} \quad r_I(-l) = r_{II}(-l),$$

при $z = l$

$$\sigma_I(l) = \sigma_{III}(l) \quad \text{и} \quad r_I(l) = r_{III}(l). \quad (\text{П-4})$$

Подставляя (П-1) и (П-3) в (П-4), получаем систему линейных уравнений относительно комплексных амплитуд A_I , B_I , B_{II} и A_{III} . Решение системы дает

$$A_I = i(Q/k)D_z^{dc} D_z^{ac} \cdot e^{-ikl},$$

$$B_I = -i(Q/k)D_z^{dc} D_z^{ac} \cdot e^{-ikl}. \quad (\text{П-5})$$

Подставляя (П-5) в (П-3), получаем

$$\sigma_I = 2(Q/s)D_z^{dc} D_z^{ac} \cdot (e^{-ikl} \cos kz - 1). \quad (\text{П-6})$$

Подставляя (П-6) в (5) с учетом (10), получаем выражение для $E_z^{ac}(z)$, которое при $W \ll 1$ легко преобразуется в (9).

Приложение II

Присвоим активной области индекс I, остальной части стержня — индекс II. Тогда комплексные амплитуды смещений r_z можно записать так:

$$r_I = A_I e^{-ikz} + B_I e^{ikz}, \quad r_{II} = A_{II} e^{ikz}, \quad (\text{III-1})$$

соответственно для компонент u_{zz} тензора деформации с помощью (7) получаем

$$u_I = -ikA_I e^{-ikz} + ikB_I e^{ikz}, \quad u_{II} = -ikA_{II} e^{-ikz}. \quad (\text{III-2})$$

С помощью (6) находим для компонент σ_{zz} тензора механических напряжений в выделенных областях

$$\sigma_I = -i(k/s)A_I e^{-ikz} + i(k/s)B_I e^{ikz} - (2/s)R_k E_z^{dc} E_z^{ac}, \\ \sigma_{II} = -i(k/s)A_{II} e^{-ikz}. \quad (\text{III-3})$$

Граничные условия в рассматриваемой задаче имеют вид при $z = 0$

$$\sigma_I(0) = 0,$$

при $z = 2l$

$$\sigma_I(2l) = \sigma_{II}(2l) \quad \text{и} \quad r_I(2l) = r_{II}(2l). \quad (\text{III-4})$$

Подставляя (III-1) и (III-3) в (III-4), получаем систему линейных уравнений относительно комплексных амплитуд A_I , B_I и A_{II} . Решение системы дает

$$A_I = i(1/k)R_k E_z^{dc} E_z^{ac} \cdot (2 - e^{-i2kl}), \\ B_I = -i(1/k)R_k E_z^{dc} E_z^{ac} \cdot e^{-i2kl}. \quad (\text{III-5})$$

Подставляя (III-5) в (III-3), получаем

$$\sigma_I = (2/s)R_k E_z^{dc} E_z^{ac} (e^{-ikz} + ie^{-i2kl} \sin kz - 1). \quad (\text{III-6})$$

Подставляя (III-6) в (6), получаем выражение для $D_z^{ac}(z)$, которое при $W_k \ll 1$ легко преобразуется в (15).

Список литературы

- [1] *Сегнетоэлектрики в технике СВЧ* / Под ред. О.Г. Вендика. М.: Сов. радио, 1979. 272 с.
- [2] *Вендик О.Г., Тер-Мартirosян Л.Т.* // ЖТФ. 1993. Т. 63. Вып. 12. С. 108–114.
- [3] *Vendik O.G., Mironenko I.G., Ter-Martirosyan L.T.* // *Microwaves & RF*. 1994. Vol. 33. N 7. P. 67–70.
- [4] *Вендик О.Г., Неженцев В.В., Платонова Л.М.* // Изв. ЛЭТИ. Л., 1968. Вып. 64. С. 92–102.
- [5] *Тер-Мартirosян Л.Т.* // РиЭ. 1975. Т. 20. Вып. 12. С. 2592–2601.
- [6] *Gevorgian S.S., Kaparkov D.I., Vendik O.G.* // *IEEE Proc. Microw. Antennas Propag.* 1994. Vol. 141. N 6. P. 501–503.
- [7] *Vendik O.G., Petrov P.K., Chakalov R.A.* et al. // *Proc. of 27th European Microwave Conf. Jerusalem*, 1997. Vol. 1. P. 196–202.
- [8] *Krupka J., Geyer R.G., Kuhn M.* et al. // *IEEE Trans. on MTT*. 1994. Vol. 42. N 10. P. 1886–1890.
- [9] *Vendik O.G., Ter-Martirosyan L.T., Zubko S.P.* // *J. Appl. Phys.* 1998. Vol. 84. N 2. P. 993–998.
- [10] *Vendik O.G., Ter-Martirosyan L.T., Dedyk A.I.* et al. // *Ferroelectrics*. 1993. Vol. 144. N 1–4. P. 33–43.
- [11] *Берлинкур Д., Керран Д., Жафффе Г.* // *Физическая акустика / Под ред. У. Мэзона. Т. I. Методы и приборы ультразвуковых исследований. Ч. А. М.: Мир, 1966. С. 204–326.*
- [12] *Най Дж.* *Физические свойства кристаллов.* М.: Мир, 1967. 386 с.
- [13] *Желудев И.С.* *Физика кристаллических диэлектриков.* М.: Наука, 1968. 464 с.
- [14] *Sakudo T., Unoki H.* // *Phys. Rev. Lett.* 1971. Vol. 26. P. 851–853.
- [15] *Schimizu T.* // *Sol. St. Commun.* 1997. Vol. 102. N 7. P. 523–527.
- [16] *Rewald W.* // *Sol. St. Commun.* 1970. Vol. 8. N 18. P. 1483–1485.
- [17] *Ландау Л.Д., Лифшиц Е.М.* *Теория упругости.* М.: Наука, 1965. 204 с.
- [18] *Vendik O.G., Zubko S.P.* // *J. Appl. Phys.* 1997. Vol. 82. N 9. P. 4475–4483.
- [19] *Schmidt G., Hegenbarth E.* // *Phys. St. Sol.* 1963. Vol. 3. N 2. P. 329–331.